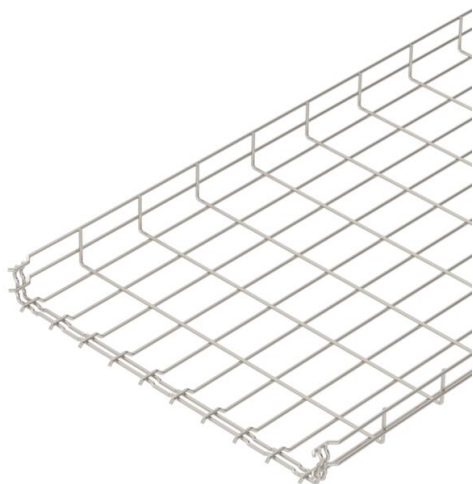


Karta charakterystyki technicznej

Korytka siatkowe GR-Magic® 55 A4

Numery katalogowe: 6001097



Korytka siatkowe z ukształtowanym łącznikiem o wysokości boku 55 mm. Do korytka siatkowego nie potrzeba dodatkowych elementów łączących, elementy wsuwa się po prostu jedne w drugie. Wielkość oczka to 50 x 100 mm (wyjątek GRM 55/50 = 20 x 100 mm). Magnetyczna tłumienność sprzężeniowa bez pokrywy 15 dB, z pokrywą 25 dB.



A4 Stal nierdzewna 1.4401

2B pusty, po obróbce

Dane podstawowe

Numery katalogowe	6001097
Typ	GRM 55 500 A4
Oznaczenie 1	Korytka siatkowe GRM
Wytwórca	OBO
Wymiar	55x500x3000
Materiał	Stal nierdzewna 1.4401
Powierzchnia	pusty, po obróbce
Norma powierzchni	
Najmniejsza jednostka sprzedaży	3
Jednostka opakowania	Metr
Ciężar	276,667 kg
Jednostka wagi	kg/100 m

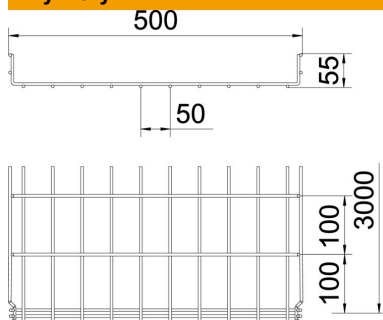
Karta charakterystyki technicznej

Korytko siatkowe GR-Magic® 55 A4

Numery katalogowe: 6001097



Wymiary



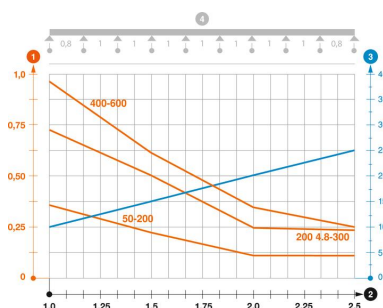
Długość	3 000 mm
Szerokość	500 mm
Szerokość	19,69 in
Wysokość	55 mm
Wysokość	2,17 in
Wymiar B	500 mm
Wymiar H	58 mm

Dane techniczne

Wersja połączenia	zintegrowany łącznik
System montażowy	Podłoga Strop Montaż
Podtrzymanie funkcji	brak
Zintegrowana przegroda	bez
Przekrój poprzeczny	220 cm ²
Przekrój poprzeczny	22000 mm ²
Forma profilu	Kształt U
Stal nierdzewna, wytrawiana	tak
Złącza bezśrubowe	tak
Wykonanie szerokorozpiętościowe	brak
Typ obciążenia wg IEC 61537	Typ II
Rodzaj złącza kablowego systemu nośnego	Zamocowanie zatraskowe

Obciążenie

możliwe rozstawy podpór min.	1 m
możliwe rozstawy podpór maks.	2,5 m
Rozstaw podpór 1,0 m	0,9 kN/m
Rozstaw podpór 1,5 m	0,6 kN/m
Rozstaw podpór 2,0 m	0,3 kN/m
Rozstaw podpór 2,5 m	0,25 kN/m



Wykres obciążenia korytka siatkowego typu GRM 55 VA

- 1 Dopuszczalne obciążenie korytka/drabiny w kN/m bez ciężaru montera
 - 2 Odstęp pomiędzy podporami w m
 - 3 Ugięcie trasy w mm przy dopuszczalnym obciążeniu kN/m
 - 4 Rozkład obciążenia podczas badania
- Wykresy obciążeń dla różnych szerokości korytka kablowego / drabiny w mm
- Wykres ugięcia trasy w zależności od rozstawu podpór